

## III-501 場所打ち杭に対する静的・動的試験

九州大学工学部 学生員○麻生 稔彦  
 九州大学工学部 正員 烏野 清  
 九州大学工学部 正員 堤 一  
 (株)建設技術研究所 正員 松井 謙二

## 1. はじめに

著者らは静的載荷試験に代わり動的試験により杭の支持力を推定する方法を提案している<sup>1)</sup>。これは杭を衝撃加振する事により得られる杭頭変位および杭頭ひずみから杭の動的挙動を明かにし、これより地盤ばねの変化に着目して支持力を推定しようとするものである。しかし、このような動的試験から得られる杭体および杭周面地盤の性質は静的なそれとは異なると考えられる。そこで、本研究は同一杭に対し静的載荷試験と動的試験の双方を実施し、杭の弾性係数や杭周面地盤ばね定数をそれぞれ求め比較・検討したものである。

## 2. 試験概要

今回の試験は2本の場所打ち摩擦杭P<sub>1</sub>, P<sub>2</sub>を対象とし、杭径はいずれも1.0m、杭長はP<sub>1</sub>が19.1m、P<sub>2</sub>は18.6mである。図-1に杭設置地盤のN値を示す。なお、いずれの杭についても地表より約3mはフリクションカットが施されている。これらの杭について静的載荷試験と動的試験を行い杭頭における変位と杭体ひずみを測定した。ここで、静的載荷試験は最大荷重700tまで多サイクル荷重制御方式で行い、動的試験は重量1.0tのハンマーを杭上部に吊り上げ、高さ20~300cmの範囲で自由落下させることにより衝撃加振した。

## 3. 試験結果

静的載荷試験により得られた荷重と、フリクションカット部のひずみの関係より静的弾性係数E<sub>s</sub>を計算することができる。一方、動的試験では杭内の衝撃波伝播速度cを求め、密度ρ( $=0.245\text{t}/\text{m}^3$ )を用いて動的弾性係数E<sub>d</sub> $=\rho c^2$ により計算される。ただし、ここでいう弾性係数はいずれも杭を一様な材質と考えた場合の等価弾性係数である。なお、衝撃波伝播速度cはP<sub>1</sub>、P<sub>2</sub>杭とも落下高さにより4400~4700m/sとなったが、このばらつきは測定誤差やAD変換におけるサンプリング周波数の影響であると考えられる。P<sub>1</sub>および

P<sub>2</sub>杭の弾性係数を杭頭荷重との関係で図-2に示す。図に示す荷重は静的試験では載荷荷重を、動的試験では杭頭衝撃力の最大値である。E<sub>s</sub>は荷重の増加にともない徐々に低下するのに対して、E<sub>d</sub>は荷重によらずほぼ一定値となり、その値はE<sub>s</sub>の1.5~2.0倍程度となっている。また、等価弾性係数を用いて鉄筋とコンクリートとの面積比より計算したコンクリートの平均弾性係数は静的で $2.2 \times 10^6 \text{t}/\text{m}^2$ 、動的で $4.2 \times 10^6 \text{t}/\text{m}^2$ であった。

静的地盤ばね定数K<sub>s</sub>は静的載荷試験による載荷荷重と沈下量の関係から求めることができる。一方、動的ば

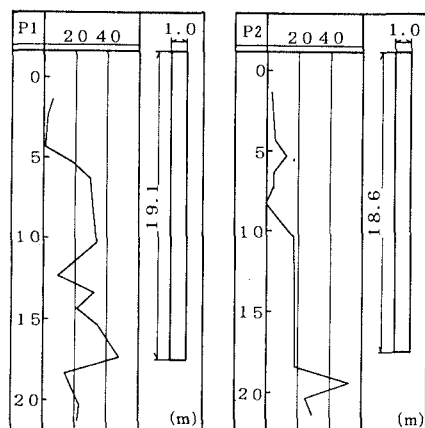


図-1 試験杭

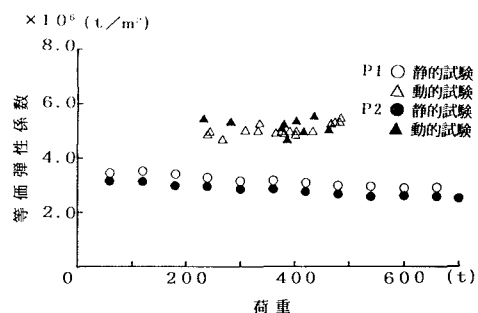


図-2 等価弾性係数

ね定数  $K_D$  を最大衝撃力と最大動的変位より求めると、杭の固有周期と衝撃力の作用時間との関係で決まる応答倍率の影響を強く受けることになる。そこで、この応答倍率の影響を除くために杭の動的挙動より杭全体が一体となって振動する剛体振動の固有円振動数  $n$  と、この時の振動質量  $M$  とを用いて  $K_D = M n^2$  から求ることとした。この振動質量  $M$  は文献1)により杭体の質量のみでなく杭が排除した土の質量を附加質量として考慮する必要がある。ここで検討するばね定数はいずれも杭の先端ばねと周面ばねの両方を含めた杭頭ばね定数である。静的載荷試験  $K_s$  と動的試験  $K_D$  による地盤ばね定数の違いを図-3に示す。この図より、P1、P2杭のいずれの場合でも  $K_D$  が  $K_s$  よりも大きくなっているが、荷重 300t 以上になると  $K_D$  と  $K_s$  の差はかなり小さくなる。また、 $K_s$  は P1、P2とも荷重の増加とともにない一様に低下するのに対し、 $K_D$  は P1で急激に低下するものの P2では低下する度合が小さくなっている。また、図中の実線は道路橋示方書の方法により求めたばね定数であり、ほぼ  $K_s$  の平均的な値となっている。

静的載荷試験と動的試験よりそれぞれ支持力を求めるために荷重沈下曲線を図-4、図-5にしめす。ここで、動的試験においては横軸は最大衝撃力、縦軸は最大衝撃力を動的地盤ばね定数  $K_D$  で除した静的変位である。また、図中の実線は測定値をワイル曲線に近似したものであり<sup>2)</sup>、推定した支持力はよく一致していることがわかる。しかし、P2杭では衝撃力が多少不足していたように思われる。

#### 4. 結論

静的試験と動的試験による杭の弾性係数および地盤ばね定数を比較した結果、それらには差異があることが明かとなった。特に地盤ばねについては従来言われているように動的ばねは静的ばねの数倍であることが確認できたが、この値は常に一定ではなく荷重に依存することが明かとなった。

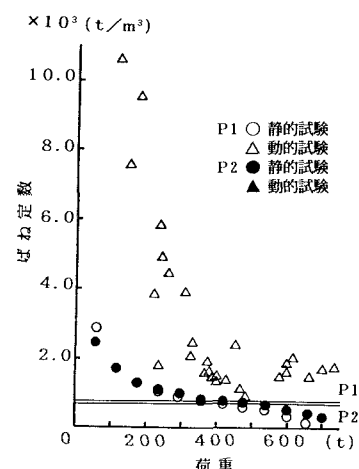


図-3 地盤ばね定数

#### <参考文献>

- 1) 烏野、麻生、松井、前田、場所打ち摩擦杭の支持力推定、杭の打ち込み性および波動理論の杭への応用に関するシンポジウム発表論文集、pp. 115~118、1989
- 2) 塩井、宇都、冬木、近藤、桜井、杭の荷重-変位曲線の非線形回帰結果による支持力の一評価法、第23回土質工学シンポジウム発表論文集、pp. 9~16、1978

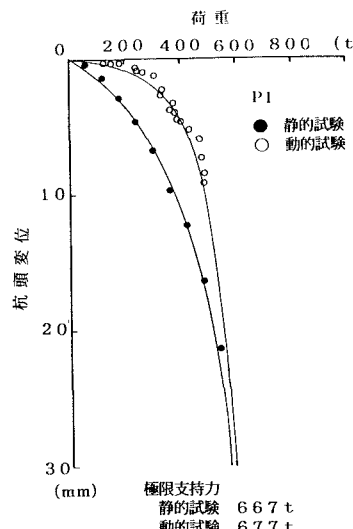


図-4 P1荷重-変位関係

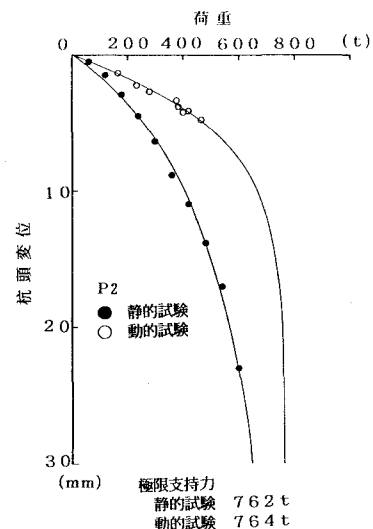


図-5 P2荷重-変位関係